

쌀아밀로펙틴의 분자구조적 성질

김봉찬·안승요*

선일포도당(주) 기술연구소, *서울대학교 식품영양학과

초록: 일반계 품종인 천마벼, 다수계 품종인 용문벼와 인디카형인 마하트마등 세 품종의 쌀에서 아밀로펙틴을 분리하여 분자구조적 성질을 조사하였다. 천마벼, 용문벼, 마하트마의 고유점도는 각각 148.3 ml/g, 156.6 ml/g, 167.5 ml/g였고, β -amylolysis limit(%)는 54.6, 55.4, 52.9였다. 평균사슬길이(\overline{CL})와 안쪽사슬길이(\overline{ICL})는 마하트마가 다른 품종보다 길었다. β -amylase에 의한 쌀아밀로펙틴의 가수분해물을 Sephadex G-50으로 겔 크로마토그래피를 했을 때, 동일한 두 개의 주요 peak(void volume과 \overline{DP} 3)가 얻어졌으며, 각 품종에서 동일한 형태를 보였다. 이들 아밀로펙틴의 pullulanase에 의한 가수분해물은 Sephadex G-50으로 겔 크로마토그래피를 했을 때, 세 개의 peak(void volume, \overline{DP} 35~45, \overline{DP} 10~20)가 얻어졌고, 품종간에 유사한 형태를 보였으나 peak의 면적과 사슬길이(\overline{DP})는 품종간에 차이가 있었다. 천마벼, 용문벼, 마하트마의 Peak II에 대한 Peak III의 면적비는 각각 3.9, 3.4, 3.3였다(1989년 12월 5일 접수, 1990년 2월 22일 수리).

쌀의 품질 및 취반후의 밥맛은 주로 아밀로오스함량에 영향받으며¹⁾, 쌀의 단백질함량도 쌀의 품질 및 취반후의 밥맛에 중요한 인자로 작용하여 단백질함량이 적을수록 밥이 부드럽고 끈기가 있으며 밥의 구수한 냄새도 많다고 하였다²⁾. 그리고, 쌀의 지질이 밥의 조직감에 영향을 주며 탈지에 의해 쌀의 수화속도가 증가하고, 점도가 증가한다고 보고되었다³⁾. 그러나, 아밀로오스함량이 비슷한 쌀 품종간에도 밥맛의 차이가 있으며, 밥맛과 아밀로오스함량이 항상 비례관계에 있지는 않다. 한편 비슷한 아밀로오스함량을 가지는 쌀 전분에서 아밀로펙틴의 사슬길이가 전분의 노화속도에 영향을 미치며, 물리적 성질의 차이도 존재한다고 보고되었다⁴⁾. 전분의 아밀로오스함량에 큰 차이가 없음에도 불구하고, 결정구조, 팽윤력, 염류에 대한 호화양상등 물리적 성질이 달랐으며⁵⁾, 상대적 결정화도가 큰 품종의 전분은 열, 산, 알칼리처리에 강한 저항성을 보이고, 물결합능력이 작고, 팽윤력이 크고, 취반 후의 밥이 단단하다고 하였다⁶⁾. 따라서, 아밀로오스함량이 비슷한 쌀에서의 취반특성은 전분의 결정성과 아밀로펙틴의 사슬구조등 분자구조적 성질과 관련이 있다고 생각되어진다. 현재까지의 쌀 전분의 분자구조에 대한 구체적 자료는 미흡한 실정이며, 쌀 품종간의 특성차에 대한 연구는 거의 보고되지 않았다.

본 연구에서는 일반적으로 밥맛에 차이가 있다고 알려진 일반계 쌀인 천마벼, 다수계 쌀인 용문벼, 인디카형 쌀인 마하트마 등 세 품종의 쌀에서 아밀로펙틴을 분리하여, 평균사슬길이, β -amylolysis limit(%), 효소 가수분

해산물의 겔 크로마토그래피 결과를 비교하였다.

재료 및 방법

재료

농촌진흥청 작물시험장에서 1986년 가을에 수확한 일반계 품종인 천마벼, 다수계 품종인 용문벼와 미국 텍사스 주의 휴스턴 소재 Riviana Food Inc.에서 생산된 인디카형인 마하트마(Mahatma, 상품명) 등 세 품종을 사용하였다.

전분의 제조 및 아밀로오스 함량 측정

이등⁷⁾의 방법에 따라 전분을 분리하고, 분리한 전분 중의 아밀로오스함량을 Sowbhagya와 Bhattacharya⁸⁾의 방법에 따라 측정하였다.

아밀로펙틴의 분리

아밀로펙틴은 Montogmery와 Senti⁹⁾의 방법을 변형하여 다음과 같이 분리하였다. 속스렉트 장치를 이용하여 메탄올로 탈지한 전분 20g을 인산완충액(pH6.0~6.3) 10ml을 가한 1ℓ의 중류수에 넣고 98℃에서 15분간 교반시킨 후 원심분리하였다. 원심분리관의 하층에 침강된 전분립을 다시 800ml의 중류수에 혼탁시키고, 앞의 조작과 같이 98℃에서 15분간 교반시킨 후 원심분리하였다. 하층침강물에 대하여 위의 조작을 한번 더 반복하였다. 이 때 나온 침강물을 메탄올과 ethyl ether로 쟁여 풍건시켜 아밀로펙틴을 얻었다.

고유점도

고유점도는 Greenwood¹⁰⁾의 방법에 따라 다음과 같이 측정하였다. 아밀로펙틴을 1N KOH 용액에 0.5~5 mg/ml의 농도로 녹이고, glass filter로 여과한 후 phenol-sulfuric acid^{방법¹¹⁾으로 당농도를 측정하였다. 시료용액을 Ubbelode 점도계에 넣고, 30 °C의 항온수조에서 30분간 열평형 시킨 후, 시료액의 일정량이 유하하는 시간을 측정하여 specific viscosity(η_{sp})를 구하였으며, 이로부터 고유점도([η])를 구하였다.}

β -Amylolysis limit(%)

아밀로펙틴의 β -amylolysis limit는 Suzuki 등¹²⁾의 방법에 따라 다음과 같이 측정하였다. 시료 3 mg을 한 방울의 에탄올로 적시고 0.5N NaOH 용액 0.3 ml로 용해시킨 다음, 1M 아세트산으로 pH 4.8로 조정하였다. 이 용액에 β -amylase(EC 3.2.1.2, E Merck사)를 ml당 100 units로 녹인 용액을 1 ml 가한 후, 항온수조에서 37 °C로 유지시켰다. 이 반응액 중의 환원당을 측정하면서¹³⁾, 더 이상의 환원당의 증가가 없는 것을 확인하고 48시간을 반응시킨 후, 끓는 수조에서 30분간 넣어 반응을 종결시켰다. 효소반응액중의 총당량을 측정하고 포도당으로 환산하여 β -amylolysis limit(%)를 계산하였다.

평균 사슬길이

아밀로펙틴의 평균사슬길이는 Potter와 Hassid¹⁴⁾의 periodate 산화법으로 다음과 같이 실시하였다. 아밀로펙틴 200 mg을 125 ml의 공전 삼각플라스크에 취하고 3% NaCl 용액 5 ml를 넣어 잘 분산시켰다. 이 용액에 0.37 M sodium metaperiodate 용액 10 ml를 넣고 밀봉한 다음 광 차단하에 2 °C에서 교반하면서 25시간 반응시켰다. 반응이 완결된 후 ethylene glycol 1 ml를 넣고 1시간 동안 상온에 방치하여 반응을 정지시키고 메틸레드 지시약으로 0.01N Ba(OH)₂를 사용하여 적정하였다. 0.01N Ba(OH)₂ 적정값으로 아밀로펙틴의 평균단위사슬길이(average unit chain length(CL))를 다음 계산식을 이용하여 계산하였다.

$$\text{Average unit chain length(CL)} =$$

$$\frac{\text{Sample weight}}{0.01 \times \frac{\text{Ba(OH)}_2(\text{ml})}{1.000}} \div 162$$

아밀로펙틴의 바깥사슬길이(\overline{OCL})와 안쪽사슬길이(\overline{ICL})는 Lee 등¹⁵⁾이 보고한 식에 의하여 계산하였다.

겔 크로마토그래피

아밀로펙틴 25 mg씩을 네개의 시험관에 넣고, 각 시험관에 dimethyl sulfoxide(DMSO) 1 ml와 0.1M 아세트산 완충액(pH 4.8) 4 ml를 가하여 끓는 수조에서 혼들면서 녹였다. 완전히 녹지 않은 부분은 여과지(Whatman No. 42)로 흡입 여과시켜 제거하였다. 첫째 시험관에는 효소를 처리하지 않았고, 둘째 시험관에는 β -amylase(EC 3.2.1.2, E Merck사) 100 units를 가해서 37 °C에서 48시간 반응시킨 후 끓는 수조에서 30분간 넣어 효소를 실활시켰다. 셋째 시험관에는 Enterobacter pullulanase(EC 3.2.1.41, Sigma Chemical Co.) 1 unit를 가한 후, β -amylase와 같이 처리하였다. 네째 시험관에는 pullulanase 1 unit를 가한 후, β -amylase 100 units를 가하여 앞에서와 같이 처리하였다.

위의 각시험관으로부터 각각 1 ml를 취하여 Sephadex G-50 컬럼(25×100 cm)에 넣고, 0.02% sodium azide를 함유한 10 mM 인산완충액(pH 7.0)으로 15 ml/hr의 속도로 용출시켰다. 분획은 4 ml씩 받아졌으며, void volume은 blue dextran 2000(Sigma Chemical Co.)으로 구하였다. 각 분획의 총당량¹¹⁾과 환원당¹³⁾을 구하였고, 각 분획의 사슬길이(\overline{DP})는 총당량을 환원당으로 나누어 계산하였다.

결과 및 고찰

일반성분

시료전분의 일반성분은 Table 1과 같다. 시료의 일반성분 중 수분, 조지방과 회분은 품종에 관계없이 거의 동일하며, 단백질의 경우 용문벼, 천마벼, 마하트마 순으로 많았지만 쌀전분의 일반적 범위를 벗어나지는 않았다. 아밀로오스 함량은 마하트마가 다른 두 품종보다 높았다.

Table 1. Proximate composition of rice starches

Variety	Moisture (%)	Protein (%)	Lipid (%)	Ash (%)	Amylose (%)
Chunmabyeo	10.6	0.87	0.12	0.12	22.2
Yongmunbyeo	10.5	0.78	0.12	0.11	22.5
Mahatma	10.9	0.98	0.12	0.12	24.9

고유점도

아밀로펙틴의 고유점도를 30 °C에서 Ubbelode 점도계로 측정한 결과는 Fig. 1과 Table 2와 같다. Fig. 1에서와 같이 specific viscosity(η_{sp})를 농도(C)로 나눈 viscosity

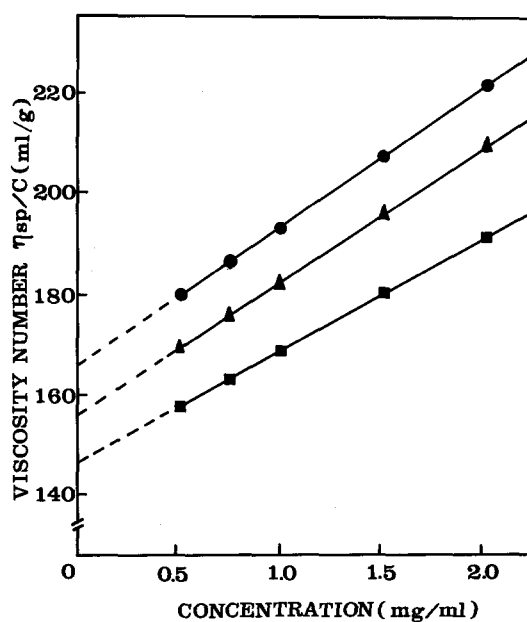


Fig. 1. Plot of viscosity number vs. concentration of rice amylopectin solutions.

Chunmabyeo(■), Yongmunbyeo(▲), and Mahatma(●).

Table 2. Rheological parameters of rice amylopectins

Variety	Intrinsic viscosity [η](ml/g)	K
Chunmabyeo	148.3	0.98
Yongmunbyeo	156.6	0.98
Mahatma	167.5	0.94

number(η sp/c)와 농도와의 관계에 관한 Huggins식¹⁰⁾ η sp/c = $[\eta]$ + K $[\eta]^2 \times C$ 에 잘 적용되었다. 여기서 K는 interaction coefficient로서 Huggins정수이다. 각종 쌀아밀로펙틴을 30°C에서 0.15N KOH에 용해시켜 측정한 고유 점도는 172-221 ml/g으로 보고되었으며¹⁶⁾, 본 실험에서는 이 값들보다는 조금 낮은 값을 보였다. K값은 0.94-0.98로 품종간에 큰 차이가 없었다. K값은 용질입자의 형태 및 강도 또는 용매와 용질의 상호작용으로 결정되는 값이며, 용질내의 결합강도가 커질수록 그 값이 커지고, 용질입자가 구형이면 그 값은 2에 가까워진다고 하였다¹⁷⁾.

β -Amylolysis limit(%)

쌀 아밀로펙틴의 β -amylolysis limit(%) 측정 결과는 Table 3과 같다. 천마벼, 용문벼의 경우 각각 54.6와 55.4로 차이가 없었지만 마하트마의 경우 52.9로 다른 품종

Table 3. β -Amylolysis limit(%) and average chain length(glucose units) of rice amylopectins

Variety	β -Amylolysis limit(%)	CL	OCL	ICL
Chunmabyeo	54.6	23.1	14.6	7.5
Yongmunbyeo	55.4	24.1	15.4	7.7
Mahatma	52.9	25.0	15.2	8.8

CL : Average unit chain length(glucose units)

OCL : Average outer chain length(glucose units)

ICL : Average inner chain length(glucose units)

보다 그 값이 낮았다. Juliano¹⁶⁾는 쌀 아밀로펙틴의 β -amylolysis limit(%)의 값이 49-58%라 하였다.

평균 사슬길이

쌀 아밀로펙틴의 평균사슬길이(CL), 바깥사슬길이(OCL)와 안쪽사슬길이(ICL)는 Table 3과 같다. 평균사슬길이는 바깥사슬길이 보다 안쪽사슬길이에 영향받는다고 생각된다. 이 결과는 조동¹⁷⁾과 김등¹⁸⁾이 보고한 쌀의 값과 비슷하며, 다른 전분¹⁴⁾과 보리¹⁹⁾의 값과도 비슷한 값을 보였다. 따라서 아밀로펙틴의 평균사슬길이는 각종 전분에서 큰 차이를 보이지 않음을 알 수 있다.

겔 크로마토그래피

쌀아밀로펙틴에 β -amylase를 처리하여 가수분해시킨 후 Sephadex G-50 컬럼에 의한 용출곡선은 Fig. 2와 같다. Fig.에서와 같이 void volume 부근(Peak I)과 DP 3 부근(Peak II)에 두개의 주요 peak가 보였다. 품종 간의 용출곡선의 차이는 없었으며, Peak I의 분획분은 β -amylase에 의해서 적용반지 않는 β -limit dextrin이고 Peak II의 분획분은 조동¹⁷⁾이 보고한 바와 같이 주로 아밀로펙틴의 바깥사슬이 β -amylase에 의해 분해된 maltotriose와 maltose라고 추정된다.

쌀아밀로펙틴과 탈지한 칡쌀전분을 pullulanase로 처

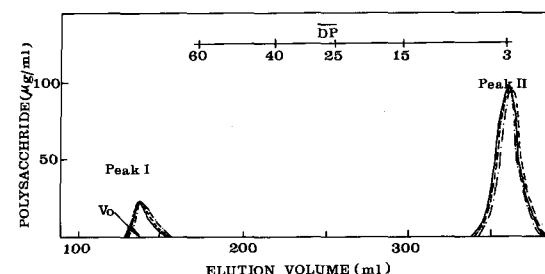


Fig. 2. Elution profiles on Sephadex G-50 of rice amylopectins hydrolyzed with β -amylase.

Chunmabyeo(—), Yongmunbyeo(···), and Mahatma(—·—).

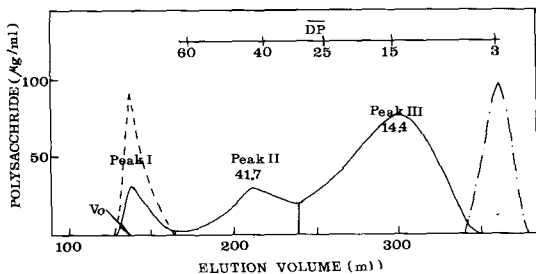


Fig. 3. Elution profiles on Sephadex G-50 of Chunmabyeo rice amylopectin.

.....Native, ——Pullulanase debranched, and
--- Pullulanase and β -amylase treated.

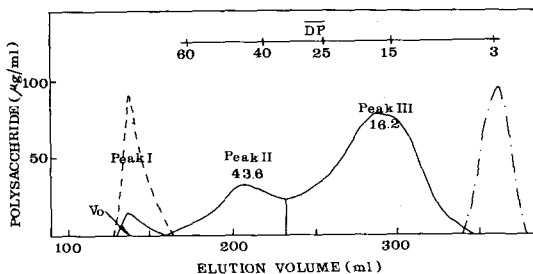


Fig. 6. Elution profiles on Sephadex G-50 of waxy rice starch.

.....Native, ——Pullulanase debranched, and
--- Pullulanase and β -amylase treated.

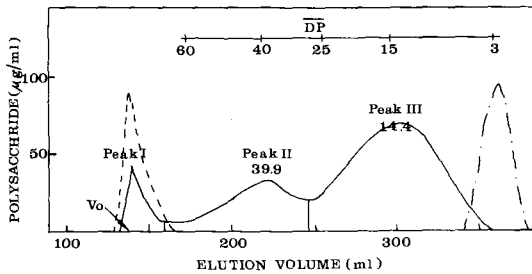


Fig. 4. Elution profiles on Sephadex G-50 of Yongmunbyeo rice amylopectin.

.....Native, ——Pullulanase debranched, and
--- Pullulanase and β -amylase treated.

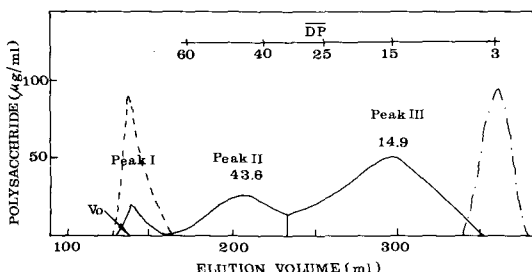


Fig. 5. Elution profiles on Sephadex G-50 of Mahatma rice amylopectin.

.....Native, ——Pullulanase debranched, and
--- Pullulanase and β -amylase treated.

리한 후 분획한 용출곡선과 pullulanase와 β -amylase를 순차적으로 처리한 후의 용출곡선은 Fig. 3, 4, 5 및 6과 같다. 또 각 peak에서의 사슬길이(\overline{DP})와, 두 peak의 경계에서 각 peak를 절단한 면적과 Peak II에 대한 Peak III의 면적비율은 Table 4, Table 5에 나타내었다. Pullul-

Table 4. Constitutive chain population of rice amylopectin after debranching with pullulanase

Variety	Debranched material(%)			Ratio
	Peak I	Peak II	Peak III	
Chunmabyeo	6.5	19.1	74.4	3.9
Yongmunbyeo	8.7	20.6	70.7	3.4
Mahatma	4.8	22.1	73.1	3.3
Waxy rice	4.1	20.0	76.0	3.8

Table 5. Chain length of each peak after debranching with pullulanase

Variety	Chain length(\overline{DP})*	
	Peak II	Peak III
Chunmabyeo	41.7	14.4
Yongmunbyeo	39.9	14.4
Mahatma	43.6	14.9
Waxy rice	43.6	16.2

*DP : Degree of polymerization

anase로 처리한 경우, 세 품종의 쌀아밀로펙틴과 찹쌀전분은 세 개의 주요 peak, 즉 void volume부근(Peak I), $\overline{DP}35\sim45$ (Peak II)와 $\overline{DP}10\sim20$ (Peak III)을 보였다. 따라서, 쌀아밀로펙틴과 찹쌀전분은 비슷한 분자구조를 가질 것으로 생각된다. 그러나 각 peak의 사슬길이(\overline{DP})가 Peak II에서 39.9~43.6, Peak III에서 14.4~16.2로 다양하고, 각 peak의 면적비율도 다르며, Peak II에 대한 Peak III의 면적비율도 3.3~3.9로 차이가 있는 것으로 보아, 쌀아밀로펙틴간에 또는 찹쌀전분사이에는 전분과 아밀로펙틴을 구성하는 사슬의 길이와 각 사슬들간의 비율이 차이가 있다고 생각된다. Asaoka 등²⁰⁾은 벼의 성장기간 동안에 온도가 높아질수록 쌀아밀로펙틴의 긴 B사슬의 양이 증가하고, 짧은 사슬의 양이 감소한다고 하였다. 용출곡선의 Peak I은 아밀로펙틴을 분리할 때 완전히 제

거 되지 못한 아밀로오스이거나²¹), pullulanase에 의해 절단된 사슬들이 다시 엉긴 것이라 생각된다. Robin 등²²은 아밀로펙틴이 중합도(\overline{DP})가 다른 두 가지 종류의 사슬로 구성되어 있음을 밝혔고, 본 연구에서도 void volume의 Peak I을 제외한 두개의 peak를 보임으로서 길이가 다른 두 종류의 사슬이 아밀로펙틴을 구성함을 알 수 있었다. 용문벼와 마하트마의 Peak II에 대한 Peak

III의 면적비율이 천마벼보다 낮았다. 이 사실은 용문벼와 마하트마가 다른 품종보다 아밀로펙틴의 \overline{DP} 10~20의 짧은 사슬을 적게 가지고 있다는 것을 의미한다. Pullulanase와 β -amylase를 순차적으로 처리하면 Peak I이 사라지는데 이것은 아밀로펙틴이 완전히 maltotriose와 maltose로 분해되었기 때문이라고 생각되며, 이 때의 용출곡선은 품종간에 차이가 없었다.

참 고 문 헌

- Juliano, B. O. : Proceedings of the workshop on chemical aspects of rice grain quality, IIRR, Los Banos, Philippines, p.69(1979)
- Juliano, B. O. : Food Technology, 116(1965)
- 김순미, 김광옥, 김성곤 : 한국식품과학회지, 18 : 393(1986)
- 이순옥, 김성곤, 이상규 : 한국농화학회지, 26 : 1 (1983)
- 정혜민, 안승요, 김성곤 : 한국농화학회지, 25 : 67 (1982)
- 길복임, 임양순, 안승요 : 한국농화학회지, 31 : 249 (1988)
- 이신영, 변유량, 조형용, 이상규 : 한국식품과학회지, 19 : 371(1987)
- Sowbhagya, C. M. and Bhattacharya, K. R. : Staerke, 31 : 159(1979)
- Montogmery, E. M. and Senti, F. R. : J. Polymer Sci., 28 : 1(1964)
- Greenwood, C. T. : In "Methods in Carbohydrate Chemistry", Whistler, R. L.(ed), Academic Press, N. Y., Vol. 4, p.179(1964)
- Dubois, M., Gilles K. A., Hamilton, J. K., Robber, P. A. and Smith, F. : Anal. Chem., 28 : 350 (1956)
- Suzuki, A., Kayanama, M., Takeda, y. and Hisukuris, S. : J. Jpn. Soc. Starch Sci., 33 : 191 (1986)
- Nelson, N. : J. Biol. Chem., 153 : 375(1944)
- Potter, A. A. and Hassid, W.Z. : J. A. C. S., 70 : 3488(1948)
- Lee, E. Y. C., Carter, J. H., Nielson, L. D. and Flscher, E. H. : Biochemistry, 9 : 2347(1970)
- Juliano, B. O. : In "Rice : Chemistry and Technology", Juliano, B. O.(ed), AACC, St. Paul, Minnesota, USA, p.59(1985)
- 조형용, 이신영, 양용, 변유량 : 한국식품과학회지, 19 : 371(1987)
- 김성곤, 한태룡, 이양희, 비.엘. 다포로니아 : 한국식품과학회지, 10 : 157(1978)
- 최준복 : 강원대학교 석사학위논문(1985)
- Asaoka, M., Okuno, K., Hara, K., Oba, M. and Fuwa, H. : J. Jpn. Soc. Starch Sci., 36 : 1(1989)
- Macgreger, A. W. and Morgan, J. E. : Cereal Chem., 61 : 222(1984)
- Robin, J. P., Mercier, C., Charbonnier, R. and Guilbot, A. : Cereal Chem., 51 : 389(1974)

Molecular Structural Properties of Rice Amylopectins

Bong-Chan Kim and Seung-Yo Ahn*(Technology Research Institute, Sunill Glucose Co., Ltd., Incheon, *Dept. Food and Nutriution, Seoul National University, Seoul)

Abstract : The molecular structural properties of amylopectins of Chunmabyeo(Japonica), Yongmunbyeo(Indica \times Japonica) and Mahatma(Indica) rice were investigated. The intrinsic viscosity of Chunmabyeo, Yongmunbyeo and Mahatma amylopectin were 148.3 ml/g, 156.6 ml/g and 167.5 ml/g, and β -amylolysis limit(%) were 54.6, 55.4 and 52.9 respectively. Average unit chain length(\overline{CL}) and average inner chain length(\overline{ICL}) of Mahatma amylopectin were longer than other varieties. Elution profiles by Sephadex G-50 chromatography of debranched amylopectins with β -amylase showed two peaks (void volume, $\overline{DP}3$) and the elution profiles of debranched amylopectins with pullulanase showed three peaks(void volume, $\overline{DP}35\sim45$, $\overline{DP}10\sim20$). The ratio of Peak III($\overline{DP}10\sim20$) to Peak II($\overline{DP}35\sim45$) of Chunmbyeo, Yongmunbyeo and Mahatma amylopectin were 3.9, 3.4 and 3.3, respectively.